

بررسی علل افت آبهای زیرزمینی دشت نورآباد ممسنی با تأکید بر نقش فعالیت‌های تکتونیکی و بهره‌برداری از منابع آب زیرزمینی

دریافت مقاله: ۹۶/۱۲/۲۸ پذیرش نهایی: ۹۷/۴/۱۶

صفحات: ۲۳۵-۲۵۴

نجمه شفیعی: دانشجوی دکتری ژئومورفولوژی، دانشکده جغرافیا، دانشگاه حکیم سبزواری، سبزوار، ایران.

Email: shafiei.najmeh@yahoo.com

محمد علی زنگنه اسدی: دانشیار ژئومورفولوژی، دانشکده جغرافیا، دانشگاه حکیم سبزواری، سبزوار، ایران.

Email: ma.zanganehasadi@hsu.ac.ir

جواد جمال آبادی: دکتری ژئومورفولوژی، دانشکده جغرافیا- دانشگاه حکیم سبزواری، سبزوار، ایران.^۱

Email: Javdjamelabadi@yahoo.com

زینب مجرد تیتكانلو: دانشجوی کارشناسی ارشد ژئومورفولوژی، دانشگاه حکیم سبزواری، سبزوار، ایران.

Email: Zeinab mojarrad@yahoo.com

چکیده

هدف از انجام این مطالعه بررسی علل افت آبهای زیرزمینی بر اثر فعالیت‌های تکتونیکی، برداشت‌های بی‌رویه و خشکسالی‌های اخیر در چارچوب نظریه ژئودوالیته می‌باشد. بدین منظور و با هدف ارزیابی فعالیت‌های تکتونیکی منطقه، از برخی شاخص‌های ژئومورفیک از جمله شاخص‌های (BS)، (T)، (AF)، (S)، (VF)، (Hi)، (J)، (Δa)، (Lat) و نقشه‌های هم‌عمق و هم‌افت حوضه استفاده شده است. بررسی‌های انجام شده نشان می‌دهد که میزان بارش در سال ۸۲ نسبت به سال ۸۸، ۳۱۰ میلیمتر کاهش و به تبع آن تعداد چاه‌ها ۲۱۷ حلقه افزایش یافته و میزان برداشت از سطح چاه‌ها نیز ۵۸۲۹۸۶۵۹ میلیون متر مکعب بر ساعت کاهش یافته است. همچنین میزان متوسط عمق چاه‌ها ۱۰ متر افزایش یافته به‌طوری که بیشترین میزان افت مربوط به چاه خومه‌زار در حدود ۲۶-۲۶ متر واقع در بخش جنوبی حوضه است که این شواهد نشان می‌دهد در محدوده آبخوان علاوه بر نقش تکتونیک در بازه طولانی مدت، نقش فعالیت‌های انسانی و خشکسالی‌ها هم می‌توانند جزء عوامل مؤثر در افت آب زیرزمینی و توسعه ژئودوالیتی در سطح دشت به شمار آیند.

کلید واژگان: تکتونیک، آب زیرزمینی، دشت نورآباد، شاخص‌های ژئومورفولوژیکی.

۱. نویسنده مسئول: سبزوار، توحید شهر، پردیس دانشگاه حکیم سبزواری، دانشکده جغرافیا و علوم محیطی

مقدمه

دول را شاید بتوان دوگانگی معنا کرد. واژه‌ای که ضمن داشتن مفهوم در برداشتن تباین ضمنی تزویج، همراهی دو پدیده را نیز بیان می‌دارد به گونه‌ای که بدون دیگری نمی‌توان مفهوم دولیتی را مجسم نمود. در طبیعت پدیده‌ای مختلف و به نسبت مجازی داریم که این پدیده‌ها می‌توانند با یکدیگر در ارتباط باشند ولی از بین آنها بعضی پدیده‌ها روابط خاصی دارند که این روابط را نمی‌توان با توان همبستگی مطرح کرد بلکه با عنوان دول مطرح می‌شوند. دولیتی قرینه بودن دو پدیده عکس هم عمل کردن و پاره‌ای از نسبت‌ها را برای ما مشخص می‌کند. به طور کلی حرکات پوسته‌ای دارای الگوها و فرم‌های متعددی هستند که از آن جمله حرکات بالآمدگی و فرونشست را می‌توان بیان کرد. از آن جا که منابع آب سطحی در بسیاری از مناطق کشور محدود می‌باشد، آب زیرزمینی به عنوان مناسب‌ترین منبع در دسترس جهت تأمین آب مورد نیاز به حساب می‌آید. در سال‌های اخیر، برداشت‌های بیش از حد از این منابع سبب افت سطح آب زیرزمینی دشتها شده به طوری که میزان تخلیه از آبخوان‌ها بیشتر از تغذیه آن‌ها می‌باشد. (علیزاده، ۱۳۸۹). به علاوه عوامل زمین‌ساختی و تکتونیکی اثرات قابل توجهی بر وضعیت منابع آب زیرزمینی دارند. در بین این عوامل، نقش گسل‌ها بسیار بارز است. گسل‌ها با توجه به تغییراتی که میتوانند در توالی لایه‌ها ایجاد کنند می‌توانند سبب توسعه و گسترش ژئودولیتی در سطح زمین شوند.

زوویلی^۱ و همکاران، (۲۰۰۴) در تحقیقاتی مشابه بر روی چندین گسل از شاخص‌هایی نظری گرادیان طول جریان (SL)، سینوسیته جبهه کوهستان (smf) و نسبت عرض دره به ارتفاع (vf) استفاده کردند و آنها را در مطالعه تکتونیک فعال موفق آمیز دانستند. تاندون و سینگ^۲ (۲۰۰۸) فعالیت‌های نو زمین‌ساخت جبهه‌های کوهستان فعال شمال غرب هیمالیا را با تجزیه و تحلیل گسل‌ها و شاخص‌ها مورد مطالعه قرار دادند و به این نتیجه رسیدند که گسل‌های مرتبط با پیشانی کوهستان و ساخت‌های مربوطه فعال هستند، همچنین همدونی^۳ و همکاران (۲۰۰۸) با استفاده از شاخص‌های ژئومورفیک و شاخص ارزیابی نسبی فعالیت‌های تکتونیکی (Lat) به طبقه‌بندی تکتونیک فعال جنوب اسپانیا پرداخته و مناطق فعال تکتونیکی را مشخص نمودند. برای مطالعه وضعیت زمین‌ساختی و نحوه عملکرد گسل‌ها ابتدا باید وضعیت تکتونیکی منطقه از لحاظ فعالیت مشخص شود. شناسایی مناطق فعال به لحاظ تکتونیکی از اهمیت ویژه برخوردار می‌باشد. تقریباً هیچ ناحیه‌ای در جهان نمی‌توان یافت که در طول چند هزار سال اخیر تحت تأثیر این حرکات قرار نگرفته باشد. کاظمی و همکاران (۱۳۸۵) به بررسی نقش عوامل ساختاری در فراوانی منابع آب در منطقه کارستی لار با استفاده از سنجش از دور و GIS پرداختند. نتایج تحقیقات ایشان نشان می‌دهد که رابطه نزدیکی بین فراوانی چشم‌های و فاصله از عناصر تکتونیکی وجود دارد. مقصودی و همکاران (۱۳۸۷) به ارزیابی نقش تکتونیک فعال در تنظیم کanal رودخانه تجن با استفاده از شاخص‌های ژئومورفیک پرداختند و به این نتیجه رسیدند که در مصب رودخانه‌ها فعالیت‌های تکتونیکی فعال می‌باشد و شاخص گرادیان رودخانه را بهترین راه

1 - Zovoili

2- Tandon & Sing

3-Hamdouni

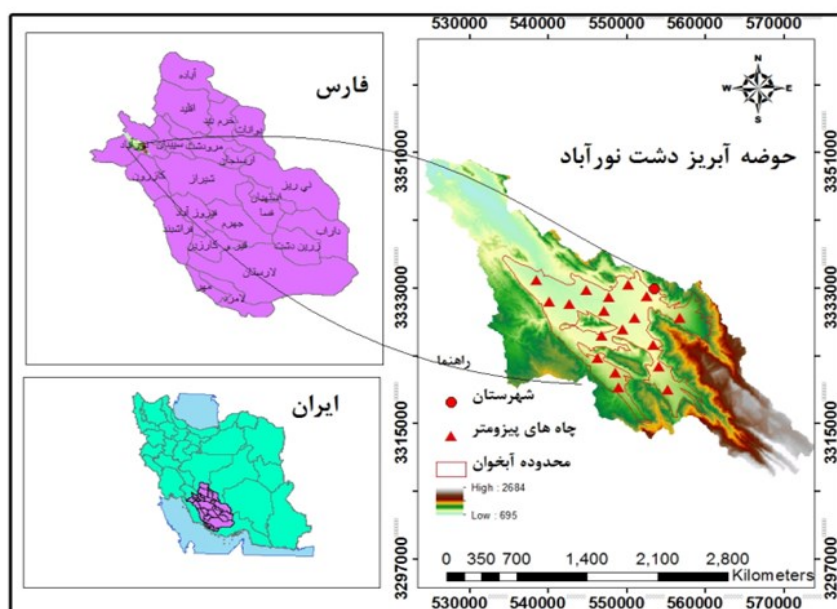
برای بررسی رفتار رودخانه دانستند. شکیبا و همکاران (۱۳۸۹) به تأثیر خشکسالی بر منابع آب زیرزمینی در شرق استان کرمانشاه با استفاده از شاخصی بارندگی معیار شده SPI پرداختند. نتایج نشان داد که خشکسالی‌ها بر افت سطح آب‌های زیرزمینی منطقه تأثیر بسزایی داشته است. صالحی اسفندارانی و همکاران (۱۳۸۹) به بررسی فرونشست دشت مهیار جنوبی و تأثیر شکاف‌های ناشی از آن بر زمین‌های کشاورزی پرداختند. در این مقاله با بررسی مطالعات زمین‌شناسی و هیدرولوژی به رشد روز افزون این پدیده در دشت مهیار جنوبی پرداخته شده است. افت حدود ۴۰ سانتیمتری سطح آب زیرزمینی در سال، زمینه مساعدی را جهت رخداد این پدیده ناگوار در دشت مهیار جنوبی فراهم آورده است. در ادامه به بررسی شکل و وضعیت پراکندگی شکاف‌ها در دشت و تأثیرات ناشی از شکاف‌ها بر مناطق مسکونی، صنعتی و کشاورزی پرداخته شده است. مقصودی و عمادالدین (۱۳۹۰) به تحلیل تأثیر عامل تکتونیک فعال در ژئومورفولوژی حوضه ششطراز و مخروط افکنه‌های پایین دست آن پرداختند. در این تحقیق دریافتند که عامل تکتونیک تأثیر بسزایی در حوضه آبریز مورد مطالعه دارد و حوضه از نظر تکتونیکی فعال می‌باشد. پورخسروانی و همکاران (۱۳۹۱) به بررسی دوالیتی در ژئومورفولوژی پرداختند. نتایج حاصل از این پژوهش نشان داد که اولاً استناد به بهره وری بیش از اندازه از آب‌های زیرزمینی دلیل تاممی پدیده فرونشست نیست، ثانیاً پدیده فرونشست در دشت‌های ایران، معلول دوالیتی در تحرّکات پوسته‌ای بین دشت‌ها و کوهستان‌های مجاور آنهاست. اکرامی و همکاران (۱۳۹۲) به بررسی آثار و پیامدهای خشکسالی اقلیمی بر تأخیر زمانی و تغییر رژیم آبدی قنوات و چشمه‌های دشت اردکان یزد پرداختند. نتایج این تحقیق حاکی از وجود تأخیر زمانی متفاوت بین وقوع خشکسالی اقلیمی و تأثیر آن بر آبدی قنوات دشتی، کوهپایه‌ای، کوهستانی و چشمه‌ها می‌باشد. رنجبرمنش و همکاران (۱۳۹۲) به بررسی بحران ناشی از افت سطح آب زیرزمینی در اثر فعالیت تکتونیکی در دشت ماهیدشت پرداختند و به این نتیجه رسیدند که میزان افت منطبق با فعالیت تکتونیکی می‌باشد، بنابراین تکتونیک جنبه‌ای می‌تواند از علل اصلی افت سطح آب زیرزمینی در منطقه باشد. علی آبادی و همکاران (۱۳۹۳) به بررسی نقش زمین ساخت فعال و خطواره‌های تکتونیکی در پیدایش سفره‌های آب زیرزمینی دشت سبزوار با استفاده از GIS و RS پرداختند و به این نتیجه رسیدند که ارتباط تنگاتنگی بین خطواره‌های گسلی و منابع آب زیرزمینی وجود دارد و خطواره‌های تکتونیکی علی‌رغم ایجاد برخی تنگاتنگی می‌توانند به عنوان یک پتانسیل در تعذیب سفره‌های آب زیرزمینی منطقه قلمداد شوند. زنگنه اسدی و شفیعی (۱۳۹۵)، به بررسی همزمانی خشکسالی و افت آب زیرزمینی دشت نورآباد ممسنی با استفاده از GIS پرداختند؛ نتایج حاصل از پژوهش نشان داد که بیشترین وضعیت خشکسالی مربوط به سال ۱۳۸۷-۱۳۸۸ می‌باشد و نقش عامل انسانی در کاهش میزان افت آب زیرزمینی آشکار است به طوری که میزان حفر چاه‌ها از سال ۸۳ نسبت به سال ۸۸ به مراتب افزایش یافته است.

در این تحقیق، بر اساس داده‌های موجود و در یک مقیاس ناحیه‌ای به بررسی علل افت آب‌های زیرزمینی دشت نورآباد با توجه به نقش فعالیت‌های تکتونیکی و نیز بهره برداری بیش از حد از منابع آب زیرزمینی و خشکسالی‌های اخیر پرداخته شده است.

روش تحقیق

موقعیت جغرافیایی محدوده مورد مطالعه

منطقه‌ی مورد مطالعه در محدوده‌ی جغرافیایی جنوب کشور در دامنه‌های جنوب‌غربی سلسله جبال زاگرس و در بخش چین خورده آن قرار دارد. محدوده‌ی نورآباد از طرف شمال با شهرستان مصیری، از طرف جنوب با دشت قائمیه، از طرف غرب با دشت ماهور میلاتی و از سمت شرق با دشت فهلیان در ارتباط است. دشت نورآباد در محدوده‌ی جغرافیایی 15° ، 51° ، 51° ، 46° طول شرقی و 30° ، 29° ، 17° عرض شمالی واقع شده است (باقری‌ژاد، ۱۳۹۰). تنها شهری که در این محدوده وجود دارد، شهر نورآباد می‌باشد که در ارتفاع ۹۳۵ متری از سطح دریا قرار دارد و در ۱۵۰ کیلومتری شمال غربی شیراز مرکز استان فارس واقع شده است. حداقل ارتفاع ۲۶۸۴ متر کوه خانی در جنوب‌شرقی محدوده و حداقل ارتفاع ۶۹۸ متر در مصب رودخانه فهلیان در حوالی روستای باتون شمال غربی داشت می‌باشد. شکل(۱).



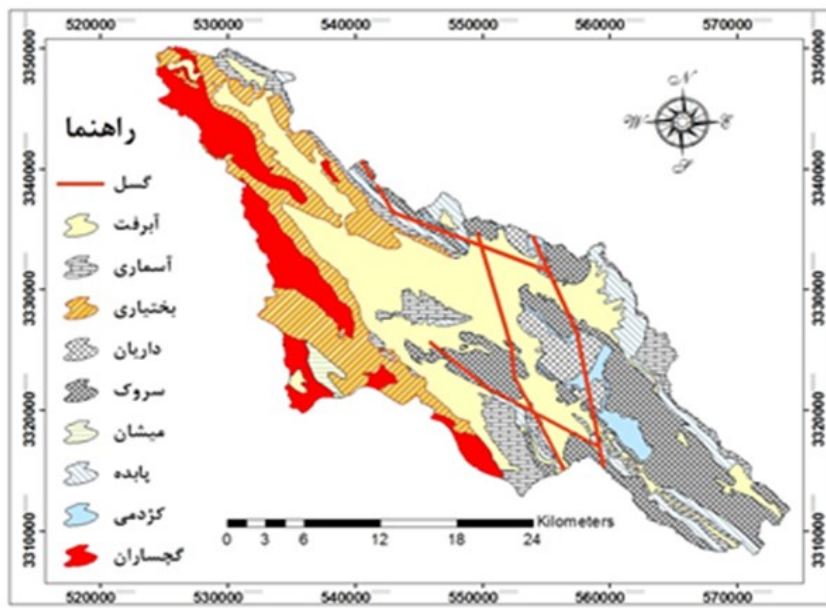
شکل(۱). موقعیت دشت نورآباد ممسنی

به منظور بررسی وضعیت فعالیت نو زمین‌ساخت منطقه از نقشه‌های توپوگرافی $1:50000$ و نقشه زمین‌شناسی $1:10000$ و تصاویر گوگل ارث و تصاویر ماهواره‌ای استفاده شده است. نقشه‌های توپوگرافی $1:50000$ شامل ۶ شیت نقشه (نورآباد، فهلیان، شیربیم، قائمیه، و بابا میدان) و نقشه زمین‌شناسی $1:100000$ شامل ۴ شیت نقشه (فهلیان، سپیدان، کازرون و کوه دار) می‌باشد. جهت استفاده از این نقشه‌ها به صورت یک نقشه کامل، عملیات موزائیک کردن آن‌ها در محیط جی آی اس انجام گرفت و جهت بررسی منابع آب زیرزمینی حوضه با مراجعه به سازمان آب منطقه‌ای استان فارس، از آمار چاه‌های پیزومتر که شامل تراز پایه پیزومترها و لوگ چاه‌های پیزومتر طی ۱۱ سال آماری ۱۳۸۱-تا ۱۳۹۱ می‌باشد، استفاده شده است. برای بررسی وضعیت منابع آب

زیرزمینی محدوده آبخوان با استفاده از تراز پایه هر پیزومتر و با کم کردن آن از عمق آب تراز، سطح آب به دست می‌آید. همچنین با استفاده از نقشه‌های توپوگرافی ۱:۵۰۰۰۰ و نقشه‌های زمین‌شناسی ۱:۱۰۰۰۰ داده‌های رستری به وکتوری تبدیل و اقدام به ترسیم نقشه محدوده مورد مطالعه گردید. برای اندازه گیری پارامترهای مورد نظر در محاسبه شاخص‌ها و ترسیم نیمیرخ‌ها از نقشه‌های توپوگرافی و مدل ارتقایی (Dem) ۳۰ متر استفاده شد، سپس شاخص‌های مورفومتریک نظیر شاخص $a\Delta$: شاخص ناهنجاری سلسله مراتبی Lat و پارامترهای تکتونیکی شامل Ha: تعداد ناهنجاری سلسله مراتبی، در وضعیت زمین‌ساختی حوضه مورد نظر ارزیابی گشت. به علاوه از نرم افزار Excel برای ترسیم نمودارها استفاده شده است. جهت بررسی وضعیت نوسانات آب زیرزمینی در محدوده مورد مطالعه از چاههای پیزومتر موجود در محدوده و جهت شناخت مسائل زمین‌ساخت حوضه، اقدام به مشاهدات میدانی و بازدید صحراي، مشاهده گسل‌ها، وضعیت آبراهه‌ها و تهیه عکس از حوضه‌ی آبخیز شد.

موقعیت زمین‌شناسی و وضعیت ساختاری منطقه

محدوده مورد مطالعه از لحاظ تقسیمات واحدی‌ای زمین‌شناسی ایران در زون زاگرس چین خورده واقع شده است. چین خورده‌گی‌ها و مورفولوژی کلی زاگرس حاصل کوهزایی‌هایی است که در دو مرحله یکی در اوخر کرتاسه و دیگری در پلیوسن رسوبات موجود بین پوسته‌های قاره‌ای ایران و پلیت عربی را تحت تأثیر قرار دادند. طی کوهزایی دوره پلیوسن حوضه‌های رسوبی این بخش کاملاً چین خورده‌گی پیدا کردد و شکستگی‌ها و ساختار کلی زاگرس در این مرحله شکل گرفت و از آن زمان تاکنون فقط عوامل فرسایشی و جابه‌جایی محلی گسل‌ها تغییراتی را در مورفولوژی زاگرس به وجود آورده‌اند. منطقه مورد مطالعه از لحاظ تکتونیکی جزء مناطق چین خورده زاگرس بوده و روند کلی امتداد چین خورده‌گی‌ها شمال‌غرب- جنوب‌شرق می‌باشد. ارتفاعات حاشیه دشت‌های مورد مطالعه معمولاً از طاقدیس‌هایی تشکیل یافته که گاهی توسط گسل و یا شکستگی‌های بزرگ جایجا شده است. طاقدیس کوزه‌کوه در شمال دشت فهلیان و امتداد آن در دشت رستم (کوه گرگی) واقع شده که توسط گسل بزرگ قطر کازرون در شمال دشت فهلیان و در امتداد جاده بامیدان- یاسوج شکسته شده و در نتیجه جابجایی بزرگی حاصل نموده است. در امتداد این گسل چشممه‌های معدنی محتوى املح گوگردی نظیر چشممه آب‌گندو و آب باد با درجه حرارت نسبتاً زیاد به وجود آمده است. علاوه بر گسل قطر کازرون گسل‌های کوچک و متعددی در منطقه وجود دارد که اکثرآ در امتداد طبقات می‌باشد (باقری نژاد، ۱۳۹۰: ۳۸). قدیمی‌ترین سنگ‌های این منطقه مربوط به ژوراسیک (سنگ‌های گروه خامی) و جدیدترین آن‌ها کنگلومرای بختیاری و آبرفت‌های سطح دشت بوده که بعد از پلیوسن تشکیل شده است. چین خورده‌گی‌های موجود در این منطقه دارای امتداد کلی شمال‌غرب- جنوب‌شرق بوده و اکثرآ ارتفاعات آن از نوع رسوبات آهکی کرتاسه می‌باشد. گسترش آهک‌های کرتاسه نسبت به سایر رسوبات در این ناحیه بیشتر بوده و این آهک‌ها در بعضی از بخش‌ها گسترش بسیار زیادی دارند (نگارش و همکاران، ۱۳۹۳: ۳۵). شکل(۲) نقشه زمین‌شناسی حوضه آبریز دشت نورآباد را نشان می‌دهد.



شکل(۲). نقشه زمین‌شناسی حوضه آبریز دشت نورآباد

نتایج

تحلیل فعالیت‌های نو زمین‌ساختی از طریق شاخص‌های ژئومورفولوژی

آثار مختلف بر جای مانده روی زمین بیانگر فعالیت‌های تکتونیکی در نقاط مختلف جهان است. گسل‌ها، کوه‌ها، دره‌های ساختمانی و ... شواهدی بر تسلط فرم زایی تکتونیک در دوران‌های گذشته زمین‌شناسی می‌باشد. البته، باید گفت که فرم زایی تکتونیک بسیار کند است و برای ایجاد یک پدیده تکتونیکی میلیون‌ها سال طول می‌کشد اما بدون شک این پدیده در زمان حال هم فعال است و سبب توسعه بالا آمدگی‌ها و فرونوسیت‌هایی در سطح زمین می‌شود که در این پژوهش با استفاده از شاخص‌های تکتونیکی و بررسی تغییرات در سطح منابع آب زیرزمینی و وجود شواهد آن‌ها در سطح زمین، به وجود آن‌ها پی می‌بریم.

شاخص‌های ژئومورفولوژیک

به کمک شاخص‌های ژئومورفولوژیک امکان توصیف کمی و مقایسه اشکال ناهمواری امکان پذیر است و در ساده‌ترین شکل، اشکال سطح زمین از طریق محاسبه اندازه، ارتفاع و شبیه قابل سنجش می‌باشند. همچنین استفاده از روش‌های کمی همراه با توضیحات کیفی امکان درک بهتر چگونگی عوارض را میسر می‌سازد (اما می، ۱۳۹۳: ۴۰).

شاخص شکل حوضه: (Bs)

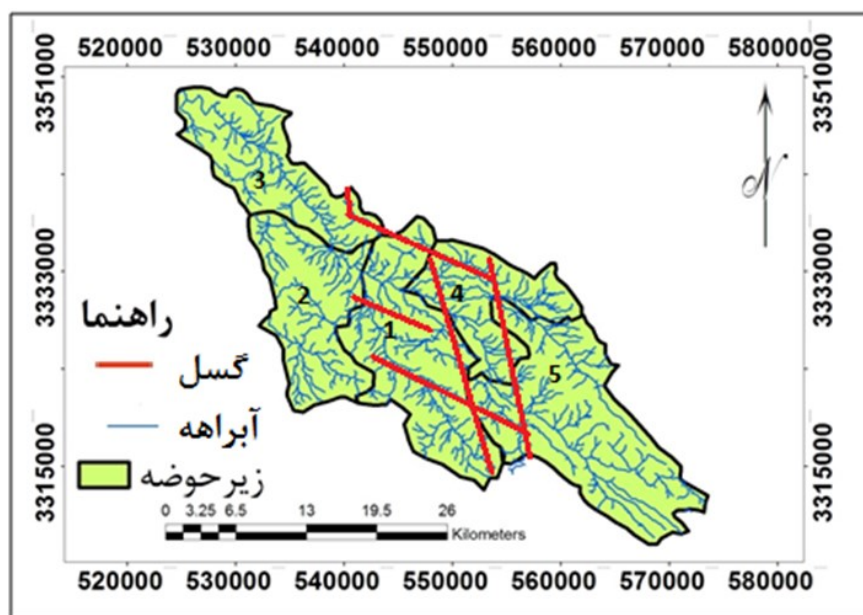
شاخص Bs برای ارزیابی فعالیت‌های زمین‌ساختی در مناطق کوهستانی به کار می‌رود.

$$Bs = Bl / Bw$$

(۱) رابطه

شاخص Bs : شاخص فرم حوضه؛ Bl : طول دورترین نقطه تا خروجی حوضه؛ و Bw : طول پهن‌ترین بخش حوضه می‌باشد. بر اساس این طبقه بندی، مقادیر زیاد شاخص شکل حوضه ($Bs > 4$) حوضه طولی با زمین ساخت فعال، ($3 < Bs < 4$) حوضه‌هایی با فعالیت‌های متوسط زمین‌ساختی و مقادیر پایین ($Bs < 3$) حوضه‌های دایره‌ای شکل با فعالیت زمین‌ساختی کم را نشان می‌دهد (دھبزگی ۱۳۸۹: ۳۳۵).

با توجه به نقشه لیتوژوئی حوضه، بیشترین گسل‌ها عمدهاً با روند شمالی جنوبی در سازندهای مقاوم و بسیار مقاوم بخش کوهستان شکل گرفته‌اند و به تبع بالاًی تحت فعالیت‌های نوزمین ساختی، بخش دشت با تراکم مواد آبرفتی فرونشست دارد و گسلهای موازی حوضه‌ی نورآباد با جبهه کوهستان نیز محصول همین عمل می‌باشند. گسل‌ها علاوه بر نقش مستقلی که در شکل گیری ساختارهای اولیه زمین دارند، در تحول شکل بسیاری از عوارض فرسایشی نیز مشارکت گسترده دارند. با توجه به جدول (۱) شاخص شکل زیرحوضه‌های نورآباد، زیرحوضه‌ها فعالند و ناشی از عبور گسل قطر کازرون است که با روند شمالی جنوبی از این قسمت عبور نموده و سبب فعالیت این شاخص در حوضه شده است. شکل (۳) زیرحوضه‌های مربوط به منطقه مورد مطالعه را نشان می‌دهد.



شکل (۳). نقشه زیرحوضه نورآباد ممسنی

جدول(۱). شاخص شکل زیرحوضه های نورآباد ممسنی

وضعیت تکتونیکی	BS	BW	BL	زیرحوضه ها
غیر فعال	۱/۲۳	۱۲	۲۶	۱
نسبتاً فعال	۳	۶	۱۸	۲
فعال	۴/۶	۵	۲۳	۳
فعال	۴	۴	۱۶	۴
نسبتاً فعال	۳/۴	۹	۳۱	۵

شاخص گرادیان رودخانه: (SL)

این شاخص ابتدا به وسیله هاک^۱ (۱۹۷۳) در مطالعه نقش مقاومت سنگها بر جریان آبهای در کوه آپالاش واقع در جنوب شرقی آمریکا به صورت مقادیر عددی شاخص گرادیان رودخانه ارائه شد. رابطه(۲). مقدار این شاخص زمانی که سنگ‌های بستر رودخانه مقاوم باشند و یا در مناطقی که حرکات تکتونیکی فعال در تغییر شکل قائم پوسته زمین مؤثر باشد، زیاد می‌باشد. بر این اساس مقادیر بالای SL در سنگ‌های دارای مقاومت کم و یا در سنگ‌های از لحاظ مقاومتی یکسان، می‌تواند بیانگر حرکات تکتونیکی فعال و جوان باشد(Hamdouni, 2008).

$$\text{SL} = (\Delta H / \Delta L) \quad \text{رابطه (۲)}$$

SL: شاخص گرادیان رودخانه، ΔH : اختلاف ارتفاع قطعه مورد نظر، ΔL : طول شاخه مورد نظر، Lsc: طول آبراهه از نقطه‌ای که شاخص محاسبه می‌شود تا مرتفع ترین نقطه آبراهه در بالادست، می‌باشد. این شاخص یک روش مفید برای پی بردن به نحوه عملکرد و جابجایی ناشی از نیروهای زمین ساخت می‌باشد (Chieh, 2003:114) در جدول (۲) شاخص گرادیان رودخانه برای هر یک از ۵ زیرحوضه مورد مطالعه ذکر شده است.

جدول(۲). شاخص گرادیان رودخانه (SL)

وضعیت	SI	Lsc	ΔL	ΔH	زیرحوضه
فعال	۶۲	۱۸۰۹۰	۱۰۶۸۴	۱۰۰	۱
فعال	۱۵۳	۱۰۲۷۷	۶۷۰۳	۱۰۰	۲
فعال	۷۶۳	۱۲۴۶۵	۱۶۳۲	۱۰۰	۳
فعال	۲۶۰	۱۸۸۰۷	۷۳۱۹	۱۰۰	۴
فعال	۳۴۰	۵۰۶۴۸	۲۴۵۴۳	۱۰۰	۵

شاخص عدم تقارن: (AF)

شاخص عدم تقارن برای ارزیابی وجود کج شدگی‌های ناشی از فعالیت‌های زمین‌ساختی در مقیاس حوضه زهکشی است. این روش برای نواحی نسبتاً وسیع بکار برده می‌شود. رابطه(۳).

$$AF = 100 * \frac{Ar}{At} = 100 * \frac{336}{417} * = 80 \quad \text{رابطه (۳)}$$

^۱ - Hock

AF: شاخص عدم تقارن رودخانه، Ar: مساحت حوضه در برگیرنده زهکشی‌های فرعی در ساحل سمت راست حوضه، در سمت راست آبراهه اصلی (به طرف پایین رود) و At مساحت کل زیرحوضه زهکشی می‌باشد (Hamdouni, 2008:135).

اگر مقدار عددی این شاخص در حدود ۵۰ باشد؛ بیانگر وجود تقارن در دو سمت آبراهه اصلی و در نتیجه عدم فعالیت تکتونیکی است. اگر میزان این شاخص بزرگتر از ۵۰ باشد بیانگر فرسایش در سمت راست آبراهه اصلی است و اگر میزان شاخص کوچکتر از ۵۰ باشد بیانگر فرسایش در سمت چپ آبراهه اصلی است. در این محاسبه اعداد به دست آمده از زیرحوضه‌ها نشان داد که مقدار شاخص بزرگتر از ۵۰ می‌باشد. بنابراین، در سمت راست آبراهه اصلی فعالیت تکتونیکی داریم و در سمت چپ با پدیده فرونژیست مواجه هستیم. جدول (۳) شاخص عدم تقارن برای ۵ زیرحوضه موردنظر را نشان می‌دهد.

جدول (۳). شاخص عدم تقارن حوضه

وضعیت	Af	At	Ar	زیر حوضه
فعال	۷۵	۱۴۵	۱۱۰	۱ زیر حوضه
فعال	۵۸	۳۱	۱۸	۲ زیر حوضه
فعال	۱۰۰	۶۲	۶۲	۳ زیر حوضه
فعال	۱۷۷	۹۴	۱۶۷	۴ زیر حوضه
فعال	۱۶۵	۲۳	۳۸	۵ زیر حوضه
فعال	۸۰	۴۱۷	۳۳۶	کل حوضه

شاخص تقارن توپوگرافی معکوس: (T)

وجود عدم تقارن توپوگرافی در شبکه زهکشی حوضه‌هایی با ویژگی‌های سنگ شناسی تقریباً همسان، عملکرد زمین ساخت فعال را نشان می‌دهد (Kellr & Pinter, 2002: 128). رابطه (۴).

$$T = Da / Dd \quad (4)$$

که در آن Da، فاصله خط میانی حوضه زهکشی تا کمربند فعال مئاندری حوضه (رود اصلی) و Dd فاصله خط میانی حوضه تا آب پخشان آن می‌باشد. مقدار عددی این شاخص برای حوضه‌های کاملاً متقارن برابر صفر می‌باشد، در حالی که با افزایش عدم تقارن توپوگرافی در یک حوضه، مقدار این شاخص نیز افزایش پیدا می‌کند و به عدد یک نزدیک می‌شود (Randel, 1994: 150). بنابراین شاخص T برداری است که مقادیر عددی نزدیک به یک بیانگر فرسایش در منطقه و در نتیجه تکتونیسم فعال است. برای محاسبه این شاخص در حوضه نورآباد، در هر زیرحوضه یک مقطع ایجاد شده و مقدار آن محاسبه گردیده که با توجه به جدول (۴) مقدار شاخص در هر پنج زیرحوضه کمتر از ۱ می‌باشد و نشانه عدم تقارن و تکتونیک فعال در کل حوضه است.

جدول (۴). شاخص تقارن توپوگرافی معکوس

T	Dd(km)	Da(km)	مسیر
۰/۹۰	۴/۹۳	۴/۴۸	۱
۰/۸۵	۷/۶۷	۶/۵۸	۲
۰/۷۸	۴/۸۵	۳/۸۱	۳
۰/۸۴	۷/۹۷	۶/۷۳	۴
۰/۸۰	۶/۶۱	۸/۲۹	۵

منحنی هیپسومتریک و انتگرال هیپسومتریک

منحنی هیپسومتریک توزیع ارتفاعات در راستای عمود بر یک ناحیه از زمین مثلاً حوضه زهکشی را توصیف می‌کند. این منحنی با پیاده نمودن نسبت ارتفاع کل حوضه (ارتفاع نسبی) در مقابل نسبت مساحت کل حوضه (مساحت نسبی) ترسیم می‌گردد. منحنی‌های هیپسومتریک یک حوضه زهکشی به عنوان ابزاری جهت دست یافتن به مراحل توسعه ژئومورفیک ناشی از فرایندهای هم زمان ساخت و برهنه سازی مورد استفاده قرار می‌گیرند (Shobter & Wilson, 2007: 98).

در انتگرال هیپسومتری نتایج حاصل از مورفلوژی یک حوضه زهکشی به صورت خلاصه و با یک مقدار واحد، براساس شکل و میزان تحدب و تعقر منحنی هیپسومتری، به سه کلاس تقسیم می‌شود. مقادیر عددی بزرگتر (۵). H_i (Biانگر توپوگرافی جوان، مقادیر عددی متوسط (۴). H_i)، Biانگر توپوگرافی بالغ و مقدار عددی کم (۴). H_i (Biانگر توپوگرافی پیر می‌باشد. انتگرال را به راحتی می‌توان از رابطه (۵) به دست آورد (Pike & Wilson, 1993: 1080).

رابطه (۵)

$$H = \frac{H_{\text{mean}} - H_{\text{min}}}{H_{\text{max}} - H_{\text{min}}} = \frac{1986 - 993}{2484 - 698} = 0.5$$

در رابطه (۵) H_{mean} : ارتفاع متوسط حوضه؛ H_{max} : بیشترین ارتفاع حوضه و H_{min} : کمترین ارتفاع حوضه است. بر اساس محجنی‌های هیپسومتریک ترسیم شده درصد بالایی از مساحت حوضه دارای توپوگرافی پیر و بالغ است.

شاخص سینوسیته جبهه کوهستان: (Smf)

شاخص سینوسیته جبهه کوهستان تعادل میان فرایندهای فرساینده که از طریق جریانات سطحی به بریدن و نامنظم کردن جبهه کوهستان گرایش دارند و همچنین نو زمین ساخت فعال و قائم که اغلب مطابق با گسلها و چین خوردگی‌های است و گرایش به ایجاد جبهه کوهستانی مستقیم دارند، را نشان می‌دهد (Bull, 1984: 330). جبهه‌های کوهستانی که با فرسایش فعال همراه‌اند تقریباً شکلی مستقیم را بر روی نقشه‌های توپوگرافی و عکس‌های هوایی به نمایش می‌گذارند و در صورتی که حرکات تکتونیکی کم باشند، فرایندهای فرسایشی باعث ایجاد جبهه کوهستانی نامنظم و سینوسی شکل می‌شوند. عدد این شاخص در جبهه‌های کوهستانی با فعالیت تکتونیکی بالا به ۱ بسیار نزدیک بوده و کمتر از ۰/۱ نشان‌دهنده یک جبهه کوهستانی فعال می‌باشد (Rakul,

1986). شاخص Smf برای ۵ زیرحوضه جبهه کوهستانی محاسبه شده و به ۳ کلاس تقسیم بندی شد که مقدار آن در هر ۵ زیرحوضه کمتر از ۱/۴ می‌باشد و نشان دهنده فعالیت تکتونیکی بالا در آن‌هاست. این شاخص به صورت رابطه(۶) تعریف می‌شود:

$$\text{Smf} = \frac{\text{Lmf}}{\text{Ls}} \quad (\text{رابطه}(6))$$

S : سینیوسیته جبهه کوهستان یا پیچ و خم سراشیبی تندر کوهستان، Lmf: طول سراشیبی تندر کوهستان در مرز بین کوهستان و کوهپایه ، Ls: طول خط مماس در امتداد سراشیبی تندر کوهستان. شاخص سینوزیته جبهه کوهستان توازن میان نیروی فرسایش که سعی در ایجاد فرسایش سطوح کوهستانی دارد و نیروی تکتونیکی که باعث ایجاد جبهه‌های صاف در طول گسل می‌شود را نشان می‌دهد(ارفع نیا ، ۱۳۸۹). در جدول(۵) شاخص سینیوسیته جبهه کوهستان از نظر فعالیت تکتونیکی برای ۵ زیرحوضه ذکر شده است.

جدول(۵). شاخص سینیوسیته جبهه کوهستان(Smf)

وضعیت تکتونیکی	S	LS	LMF	زیرحوضه
فعال	۱/۲۵	۴/۸	۶	۱ زیرحوضه
فعال	۱/۳۹	۴/۶	۶/۴۳	۲ زیرحوضه
فعال	۱/۲۷	۲/۴۹	۳/۱۷	۳ زیرحوضه
فعال	۱/۳۰	۱/۶۰	۱/۴۶	۴ زیرحوضه
فعال	۱/۳	۲/۵	۳/۴۷	۵ زیرحوضه

شاخص سینیوسیته رودخانه(S)

تفییرات سینوسی در یک سامانه رودخانه‌ای، به طور معمول ناشی از بالا آمدگی و فرونشستهایی است که در بستر روی می‌دهد. این شاخص به صورت رابطه(۷) تعریف می‌گردد:

$$S = C / V \quad (\text{رابطه}(7))$$

C : طول مسیر رود ؛ S: سینوزیته یا پیچ و خم رودخانه ؛ و V: طول مستقیم دره در رابطه(۷) می‌باشد. مقادیر بالای این شاخص گویای آن است که رودخانه‌های دارای پیچ و خم زیاد به تعادل رسیده‌اند در حالی که مقادیر کمتر این شاخص نشان دهنده‌ی رودخانه‌های با مسیر مستقیم می‌باشند که برای رسیدن به تعادل عمل حفر بستر را انجام می‌دهند. طبق محاسبات انجام گرفته میزان شاخص پیچ و خم رودخانه کمتر از ۱ است. جدول (۶) آبراهه‌های اصلی مربوط به هر زیرحوضه ۱ تا ۵ را نشان می‌دهد که نمایانگر فعالیت‌های نوژمین ساخت در منطقه می‌باشد.

جدول(۶). شاخص سینوسی رودخانه

وضعیت تکتونیکی	S	V	C	شماره
فعال	۰/۸۹	۲۰/۷۲۵	۲۳/۲۳۴	زیرحوضه ۱
فعال	۰/۵۳	۵/۳۳	۱۰/۷۷	زیرحوضه ۲
فعال	۰/۹۵	۹/۳۳	۸/۹۵	زیرحوضه ۳
فعال	۰/۷۷	۱۴/۹۹	۱۱/۶۲	زیرحوضه ۴
فعال	۰/۸۷	۲۹/۰۶	۳۳/۹۱	زیرحوضه ۵

شاخص پهنای کف دره به ارتفاع آن: (VF)

در بین شاخص‌های مورفو-تکتونیکی، شاخص VF بهترین شاخص برای ارزیابی تأثیرات فعالیت‌های تکتونیکی در شکل دره‌ها محسوب می‌شود. این شاخص نخستین بار در سال ۱۹۷۷ توسط بول و مک فادن^۱ مورد استفاده قرار گرفت. از شاخص‌های مهم در ارزیابی فعالیت‌های نوزمین ساختی، شاخص پهنای کف دره یا نسبت ارتفاع دره (VF) است. این شاخص با معادله رابطه(۸) بیان می‌گردد:

$$E_{id} = \frac{2Vfw}{E_{id} - E_{sc} + E_{rd} - E_{sc}} \quad (8)$$

با استفاده از این شاخص می‌توان فهمید که رود در چه وضعیتی می‌باشد. ممکن است رود در حال حفر بسترش و یا به فرسایش کناری مشغول باشد و یا اقدام به توسعه بستر خود کند. مقادیر کمتر از ۶ در این شاخص نشان دهنده مناطق در حال بالا آمدن می‌باشد. در مناطق غیرفعال از نظر بالآمدگی مقدار متوسط این شاخص معمولاً بالاتر از ۷ است (ارفع نیا، ۱۳۸۹). به طور کلی اگر پهنای کف دره کم و ارتفاع خط الرأس ها زیاد باشد، بیانگر تکتونیک فعل است. در جدول(۷) شاخص پهنای کف دره به ارتفاع آن در ۵ زیرحوضه مورد مطالعه ذکر شده است.

جدول(۷). شاخص پهنای کف دره به ارتفاع آن(VF)

وضعیت تکتونیکی	Vf	Vfw	Eld	Erd	Esc	شماره
فعال	۰/۱۴	۸۹	۱۲۰۹	۱۶۶۴	۱۰۷۰	زیرحوضه ۱
فعال	۰/۱۷	۶۵	۱۳۰۵	۱۲۶۰	۱۱۰۰	زیرحوضه ۲
فعال	۰/۲۲	۳۷	۱۱۲۵	۱۲۰۰	۱۰۰۰	زیرحوضه ۳
فعال	۰/۲	۷۰	۱۲۸۰	۱۲۲۰	۱۰۰۰	زیرحوضه ۴
فعال	۰/۰۵	۷۲	۲۴۸۸	۱۴۳۶	۱۳۰۰	زیرحوضه ۵

^۱ - Bull & Macfadden

شاخص ارزیابی نسبی فعالیت‌های زمین ساختی: (Iat)

با استفاده از شاخص Iat می‌توان وضعیت نسبی فعالیت‌های زمین ساختی در منطقه را مشخص کرد. شاخص فعالیت نسبی زمین ساخت (Lat) از تقسیم مجموع کلاس‌های ژئومورلوژیک محاسبه شده (5) بر تعداد شاخص‌های محاسبه شده (N) به دست می‌آید. از ترکیب شاخص‌های مختلف، یک شاخص واحد (Iat) به عنوان معیار برآورد فعالیت تکتونیکی معرفی و نتایج حاصل از آن در زمینه طبقه‌بندی فعالیت‌های تکتونیکی به کار می‌رود. مقادیر به دست آمده این شاخص به ۴ کلاس به شرح زیر تقسیم می‌شود (Hamdouni, 2007).

کلاس (۱) فعالیت نوزمین‌ساختی بسیار بالا: (1/5>lat>1)، کلاس (۲) فعالیت نوزمین‌ساختی بالا: (2/5>lat>1/5)، کلاس (۳) فعالیت نوزمین‌ساختی متوسط: (2/5>lat>2)، و کلاس (۴) فعالیت نوزمین‌ساختی پایین یا بدون تکتونیک: (lat>2/5).

تعداد ناهنجاری سلسله مراتبی: (Ha)

پارامتر Ha شامل حداقل آبراهه درجه ۱ است که به طور فرضی به شبکه زهکشی اضافه می‌شوند تا مسیر نظم سلسله مراتبی داشته باشد (Pirrotta & Guarnieri, 2008: 267). برای محاسبه این شاخص ابتدا تعداد آبراهه‌ها با درجه‌های مختلف در حوضه تعیین شدند؛ بعد از اینکه تمام سیستم‌های زهکشی در مسیرهایی که ناهنجاری زهکشی دارند تعیین شدند؛ تعداد آبراهه‌ها در مسیر ناهنجاری زهکشی در ستون سمت چپ جدول شماره ۱ ضرب شد و از مجموع حاصلضرب تعداد آبراهه‌ها در مسیرهای ناهنجار (ستون سمت راست جدول ۱) در حداقل آبراهه‌های درجه ۱ برای منظم کردن شبکه (ستون سمت چپ جدول ۱)، شاخص Ha محاسبه شد (بهرامی و همکاران، ۱۳۹۰: ۵۸).

شاخص ناهنجاری سلسله مراتبی: (Δa)

شاخص ناهنجاری سلسله مراتبی یکی از شاخص‌های مهم تعیین میزان نقش تکتونیک در ناهنجاری شبکه زهکشی است به طوری که هر چه میزان این شاخص در حوضه بیشتر باشد، نشان دهنده ناهنجاری بیشتر شبکه زهکشی یا تأثیر بیشتر تکتونیک بر سیستم آبراهه‌ای حوضه است. شاخص مذکور از تقسیم Ha بر تعداد واقعی آبراهه‌های درجه ۱ موجود در حوضه به دست می‌آید (Pirrotta & Guarnieri, 2008: 267).

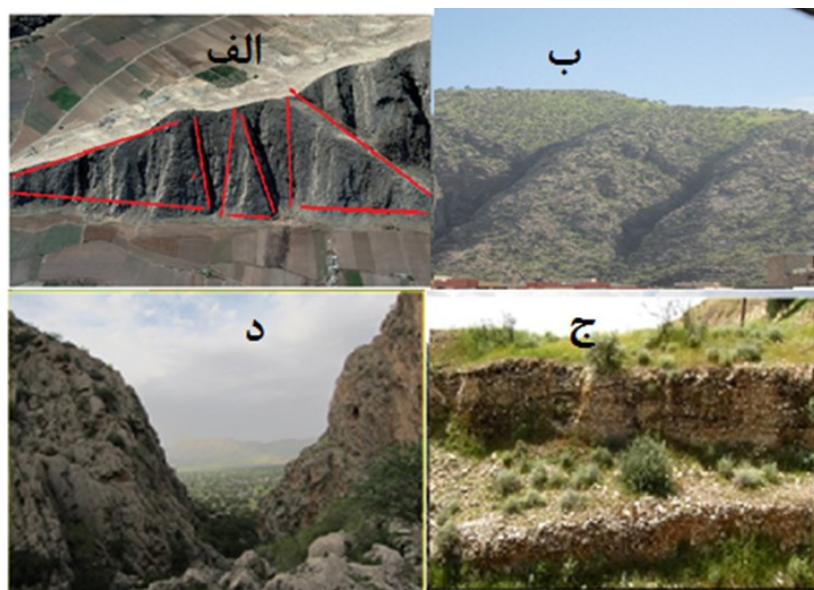
همچنان که جدول (۸) نشان می‌دهد مقدار شاخص Ha در زیرحوضه‌های ۲ و ۳ بیشتر از سایر زیرحوضه‌ها می‌باشد. نتایج این شاخص نشان می‌دهد بالاترین ناهنجاری زهکشی مربوط به حوضه‌های شماره ۲ و ۳ به دلیل حرکت تکتونیکی گسل کازرون می‌باشد که بر این دو حوضه اعمال شده است.

جدول(۸). شاخص ناهنجاری سلسله مراتبی (Δa)

حوضه	زیرحوضه ۱ (Hai→j× Nsi→j)	زیرحوضه ۲ (Hai→j× Nsi→j)	زیرحوضه ۳ (Hai→j× Nsi→j)	زیرحوضه ۴ (Hai→j× Nsi→j)	زیرحوضه ۵ (Hai→j× Nsi→j)
۳-۱	۲۱(۱)	۶(۱)	۳(۱)	۱۲(۱)	۱۵(۱)
۴-۱	۵(۱۲)	۴(۳)	۰(۳)	۰(۳)	۱۹(۳)
۵-۱	۰(۷)	۲(۷)	۰(۷)	۰(۷)	۱(۷)
۶-۱	۱۲(۱۵)	۰(۱۵)	۳(۱۵)	۲(۱۵)	۰(۱۵)
۴-۲	۰(۲)	۰(۲)	۰(۲)	۰(۲)	۱۱(۲)
۵-۲	۰(۶)	۰(۶)	۰(۶)	۰(۶)	۳(۶)
۶-۲	۰(۱۴)	۰(۱۴)	۱۲(۱۴)	۶(۱۴)	۰(۱۴)
۵-۳	۰(۴)	۰(۴)	۰(۴)	۰(۴)	۱(۴)
۶-۳	۰(۱۲)	۰(۱۲)	۲(۱۲)	۱(۱۲)	۰(۱۲)
۶-۴	۰(۸)	۰(۸)	۰(۸)	۰(۸)	۰(۸)
Ha	۲۶۱	۳۲	۲۴۰	۱۳۸	۱۲۳
Δa	$261/130 = 2$	$32/21 = 1/5$	$240/50 = 4/7$	$138/50 = 2/7$	$123/221 = 0/55$

شواهد ژئومورفولوژیکی حاصل از تکتونیک فعال

با مطالعه و بررسی لندرمه‌ها و سیستم شبکه‌های زهکشی و با مدنظر قراردادن زمین‌ساخت و لیتوژوئی می‌توان عملکرد نو زمین‌ساخت فعال را در هر منطقه مورد ارزیابی قرارداد. لندرمه‌های همچون سطوح مثلثی شکل، که به صورت مثلث‌های پشت سرهم و به عنوان قدیمی‌تر و جوان‌تر شناخته می‌شوند و شکل‌های مثلثی جوان‌تر به جبهه کوهستان نزدیک‌تر هستند. این شاخص یکی از شاخص‌های تعیین‌کننده فعالیت تکتونیکی نسبی جبهه کوهستان می‌باشد. در محل تلاقی کوهپایه با دشت، رسوبات در محل خط گسل بریده می‌شوند که به صورت اشکال مثلثی مشاهده می‌شود. به نظر ولز^۱ و همکاران (۹۰۱ : ۱۲۸۸)، سطوح مثلثی در جبهه کوهستان‌های گسلی بین دو آبراهه شکل می‌گیرند که دارای شکل مثلثی و در مواردی چند ضلعی می‌باشند. جبهه‌های کوهستانی با تکتونیک شدیدتر، دارای سطوح مثلثی بزرگ‌تر و پر شیب‌تر و دارای قاعده طولانی‌تری هستند، در حالی که جبهه‌های کوهستانی با تکتونیک ضعیفتر، به علت تأثیر فرسایش بیشتر آبراهه‌ها، دارای سطوح مثلثی کمتر و با قاعده‌های کوچک‌تر هستند شکل (۴، الف). درهای V شکل که دلیل ایجاد آنها فعالیت‌های تکتونیکی و یا فرسایش آبی می‌باشد. فراخاست تکتونیکی موجب می‌شود قسمتی از پوسه بالا بیاید که در نتیجه آن فلات‌ها و کوهستان‌ها ایجاد می‌شوند و نشان دهنده دلالت حرکات زمین‌ساخت و تعییرات استاتیک است که باعث افزایش اختلاف بین سرچشمه و سطح پایه و افزایش میانگین شیب بستر می‌گردد؛ در نتیجه قدرت اولیه آب افزایش یافته و دوره جدیدی آغاز می‌شود شکل (۴، ب و د). پادگانه‌های مطابق و شکل‌گیری پادگانه جدید در دشت سیلابی و دیواره‌های قائم مسلط بر بستر رودخانه نشان‌دهنده فعال بودن حرکات نو زمین‌ساختی و تأثیرپذیری سیستم زهکشی منطقه از این حرکات می‌باشد شکل (۴، ج).



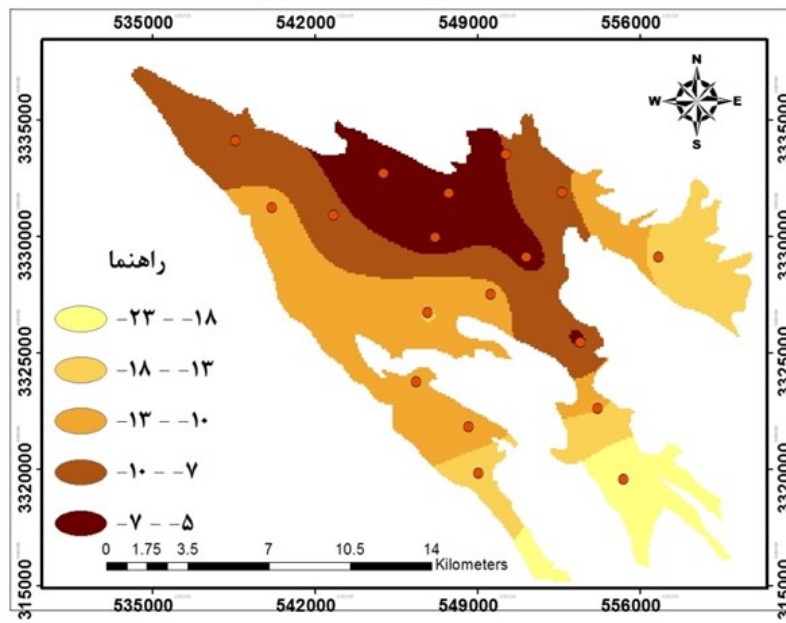
شکل(۴). شواهد زئومورفولوژیکی حاصل از تکتونیک فعال

تکتونیک و منابع آب زیرزمینی

دشت نورآباد از جمله وسیعترین دشت‌های استان فارس می‌باشد. این منطقه با داشتن خاک حاصلخیز و مرغوب و به علت وجود منابع آبی همچون رودها، چشمه‌ها و منابع آب زیرزمینی غنی یکی از مهمترین مناطق کشاورزی در جنوب غرب کشور محسوب می‌شود (فعالیت کشاورزی شامل زراعت و باغداری است)؛ و از این نظر دارای موقعیت ممتازی در منطقه است. فعالیت‌های زراعی در منطقه به دو صورت آبی و دیم انجام می‌گیرد و بیشتر غلات است. وجود منابع آب در منطقه از دیرباز مورد توجه بوده و باعث ایجاد زمینه استقرار گروه‌های انسانی در مجاورت رودها و چشمه‌ها شده است. از طرفی تنوع پوشش گیاهی و فراهم آمدن زمینه مناسب برای فعالیت کشاورزی و صنعتی و... که تأثیر مهمی بر اشتغال در منطقه داشته است، نیز از تأثیرات مثبت منابع آب در این دشت می‌باشد. رودخانه آب مروارید مهمترین جریان سطحی منطقه است که یک رودخانه فصلی می‌باشد. این رودخانه بیشتر در محدوده دشتی بوده و از نظر کشاورزی حائز اهمیت خاصی است. اما، در زمینه بهره برداری مطلوب از آب این رودخانه محدودیتها و موانعی وجود دارد و برداشت از منابع آب زیرزمینی به مراتب افزایش یافته است که این برداشت‌ها عوارض بسیار زیادی را در حوضه آبریز به وجود آورده است.

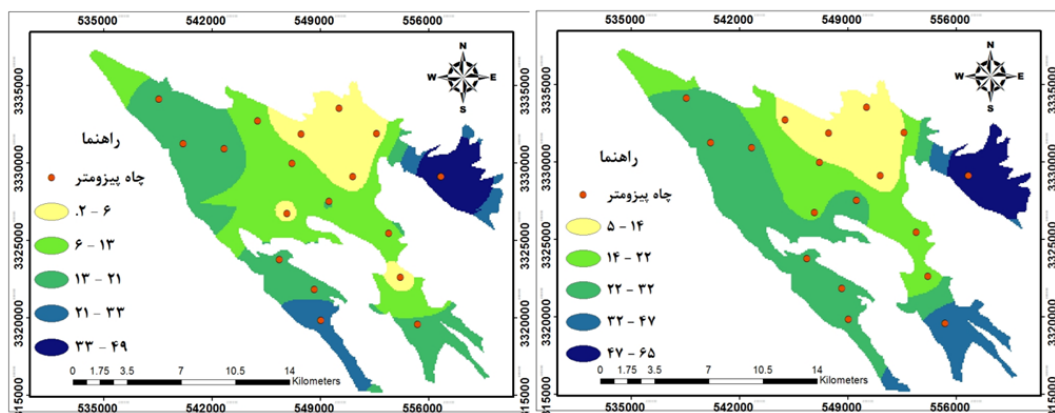
به منظور بررسی نوسانات سطح آب زیرزمینی دشت نورآباد طی سال‌های آماری ۱۳۸۸ تا ۱۳۸۲ مشخص گردید که سطح آب زیرزمینی در کل دشت افت داشته؛ ولی این افت در جنوب دشت با ۲۶ متر تفاوت کاملاً محسوسی را نشان داده است. با توجه به وضعیت زمین‌شناسی و اطلاعات حاصل از لوگ چاه‌های اکتشافی، بافت رسوبات در حاشیه‌های شمالی و مرکزی مخلوطی از سیلت، رس و ماسه می‌باشد. به علت ضخامت

متفاوت رسوبات در دشت، میزان آبدی چاه‌ها نیز با هم متفاوت می‌باشد. شکل (۵) نقشه هم‌افت آب زیرزمینی آبخوان دشت نورآباد را در سال ۱۳۸۸ تا ۱۳۸۲ نشان می‌دهد.



شکل(۵). نقشه هم‌افت آب زیرزمینی در سال ۱۳۸۲-۱۳۸۸

در شکل (۶) (الف، ب) کمترین عمق آب مربوط به سال ۸۲ و بیشترین عمق آب مربوط به سال ۸۸ می‌باشد. با بررسی نقشه‌های سطح آب زیرزمینی ملاحظه می‌شود کمترین عمق برخورد سطح آب زیرزمینی مربوط به بخش شرقی محدوده مورد مطالعه می‌باشد که میزان آن کمتر از ۰/۲۰ متر است و بیشترین عمق برخورد سطح آب زیرزمینی مربوط به بخش جنوبی آبخوان نورآباد می‌باشد که میزان آن به ۶۵ متر می‌رسد. در واقع در جنوب دشت که گسل سراسری کازرون از آن عبور می‌کند میزان افت به مراتب از مناطق دیگر بیشتر قابل رویت است.



شکل(۶). الف: نقشه هم‌افت عمق آب زیرزمینی در سال ۱۳۸۲ ب: نقشه هم‌افت عمق آب زیرزمینی در سال ۱۳۸۸

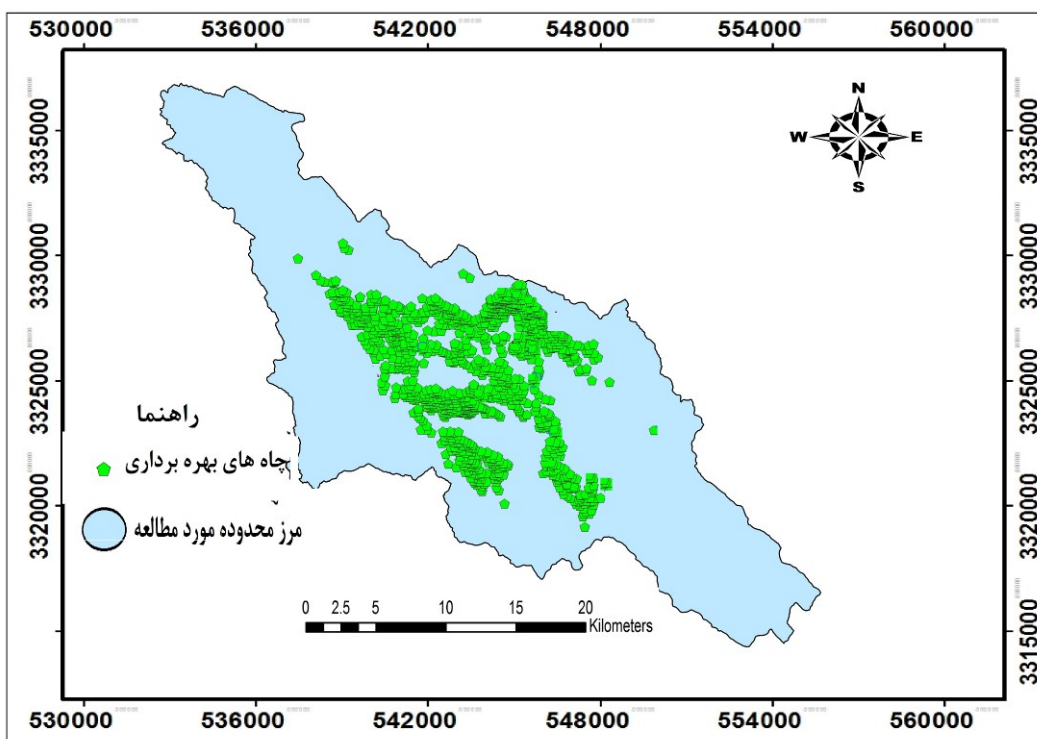
با توجه به جدول (۱۰) بررسی‌های انجام شده در بازه زمانی ۸۱-۹۱ نشان می‌دهد که میزان بارش در سال ۸۲ نسبت به سال ۸۸ از ۶۸۰ میلیمتر به ۳۷۰ میلیمتر کاهش یافته است و به تبع آن تعداد چاهها از ۹۰۶ به ۱۱۲۳ حلقه افزایش یافته است. همچنین میزان برداشت از سطح چاهها از ۵۹۳۰۳۰۵۹ میلیون متر مکعب بر ساعت کاهش و میزان متوسط عمق چاهها از ۲۵ به ۳۵ متر افزایش یافته است که این شواهد نشان می‌دهد در محدوده آبخوان علاوه بر نقش تکتونیک در بازه طولانی مدت، نقش فعالیت‌های انسانی و خشکسالی‌ها هم می‌توانند جزء عوامل موثر در افت آب زیرزمینی و توسعه ژئودوالتی در سطح داشت به شمار آیند.

شکل (۷) موقعیت چاههای بهره‌برداری در سطح حوضه مورد مطالعه را نشان می‌دهد.

جدول (۱۰). بررسی وضعیت منابع آبی در سال‌های ۸۲ و ۸۹

ردیف	سال آبی	تعداد چاه‌ها	میزان برداشت (میلیون متر مکعب)	میانگین عمق آب زیرزمینی m	بارندگی mm
۱	۸۳-۸۲	۹۰۶	۵۹۳۰۳۰۵۹	۲۵	۶۸۰
۲	۸۸-۸۹	۱۱۲۳	۱۰۰۴۴۰۰	۳۵	۳۷۰

منبع: سازمان آب منطقه‌ای استان فارس



شکل (۷). موقعیت چاههای بهره‌برداری محدوده مورد مطالعه

نتیجه گیری

با بررسی و محاسبه شاخص‌های تکتونیک و منابع آب زیرزمینی در محدوده به این نتیجه رسیدیم که تکتونیک فعال و برداشتهای بی حد و حصر انسان برای فعالیت‌های کشاورزی، کشت محصولات آب بر بخصوص برج و صیفی جات، فعالیت‌های صنعتی و همچنین خشکسالی‌های اخیر به دلیل کاهش میزان بارندگی و نیاز روزافزون به آب شرب از عوامل مؤثر در افت سطح آب زیرزمینی در محدوده مورد مطالعه می‌باشد و تمام این عوامل تأییدی بر توسعه نظریه ژئودالیتی است که سبب گسترش بالآمدگی‌ها و فرونشتست در سطح حوضه می‌شود. با تلفیق نتایج مربوط به تکتونیک منطقه و میزان افت سطح آب زیرزمینی مشاهده می‌شود در بخش‌های جنوبی حوضه که میزان افت بیشتر است میزان فعالیت شاخص‌های تکتونیکی نیز بیشتر است به طوری که سبب شده میزان آب زیرزمینی طی ۱۲ سال حدود ۲۶ متر کاهش یابد، همچنین در بخش‌هایی از منطقه که تکتونیک فعال است (بخش شرقی و جنوب حوضه)، افت سطح ایستابی نیز بیشتر است. از آنجایی که فعالیت‌های تکتونیکی سبب بروز عوارضی چون گسل می‌شوند و گسل‌های موجود در مناطق کارستیک باعث انتقال آب زیرزمینی و کاهش زمان ماندگاری آب در منطقه می‌شوند؛ روند افت سطح آب و کاهش حجم سفره را به همراه دارد. اگر نیاز روزافزون جمعیت منطقه به آب‌های زیرزمینی در نظر گرفته شود، ارقام مربوط به میزان افت سطح آب نشان‌دهنده بحرانی بودن حوضه از نظر استفاده از این آبهاست. با توجه به نقش عامل انسانی در کاهش میزان افت آب زیرزمینی آشکار است که از سال ۸۳ نسبت به ۸۸، میزان حفر چاه‌ها به مراتب افزایش یافته است که این امر بیانگر روند مخاطره‌آمیز از بین رفتن این منبع با ارزش در حوضه و محدودیت در توسعه‌ی بهره برداری از آب‌های زیرزمینی در منطقه می‌باشد؛ که در شرایط کنونی لزوم مدیریت صحیح بر این منابع ارزشمند احساس می‌شود. لذا، کنترل و اصلاح میزان پمپاژ آب و استفاده بهینه از منابع آبی ضروری است. همچنین به منظور تقویت آبخوان می‌توان از طرح‌های تعذیبی مصنوعی در مناطق اولویت‌دار استفاده نمود و یا اقدامات عملی به منظور جلوگیری از تشدید پدیده فرو نشست زمین به اجرا گذاشت.

منابع

- ارفع نیا، رامین. (۱۳۸۹). تکتونیک فعال در منطقه اقلید، کاربرد مدل رقومی سرزمینی. (**DTM**) در **مورفو-تکتونیک**، فصلنامه زمین‌شناسی کاربردی، ۶(۴): ۲۴۵-۲۶۵.
- اکرامی، محمد؛ احتصاصی، محمدرضا؛ ملکی نژاد، حسین. (۱۳۹۲). آثار و پیامدهای خشکسالی اقلیمی بر تأثیر زمانی و تغییر رژیم آبدی قنوات و چشمه‌ها (مطالعه موردی: دشت یزد-اردکان)، **تحقیقات منابع آب ایران**، ۹(۲): ۴۰-۲۷.
- امامی، فهیمه. (۱۳۹۳). بررسی نقش تکتونیک در شکل گیری و تحول مخروطه افکنه‌های کوه پرآو در استان کرمانشاه، پایان نامه کارشناسی ارشد، دانشگاه سیستان و بلوچستان.
- باقری نژاد، اسماعیل. (۱۳۹۰). شبیه‌سازی جریان آب زیرزمینی با استفاده از مدل عددی در محیط **GIS**. پایان نامه کارشناسی ارشد سنجش از دور، دانشگاه شهید بهشتی.

- بهرامی، شهرام؛ مقصودی، مهران؛ بهرامی، کاظم. (۱۳۹۰). بررسی نقش تکتونیک در ناهنجاری مورفومتری شبکه‌ی زهکشی در چهار حوضه‌ی آبخیز در زاگرس، پژوهش‌های جغرافیای طبیعی، ۴۳ (۷۶): ۵۱-۷۰.
- پورخسروانی محسن؛ رامشت، محمدحسین؛ المدرسي، سیدعلی. (۱۳۹۱). دواليتی در ژئومورفولوژی، پایان نامه دکترای تخصصی، دانشگاه اصفهان، دانشکده علوم جغرافیایی و برنامه ریزی.
- رنجبرمنش، نسرین؛ انتظاری، مژگان؛ رامشت، محمدحسین. (۱۳۹۲). بحران ناشی از افت سطح آب زیرزمینی در اثر فعالیت تکتونیکی در دشت ماهیدشت، دو فصلنامه علمی پژوهشی ژئومورفولوژی کاربردی ایران، ۱ (۲): ۱۸-۱.
- زنگنه اسدی، محمدعلی؛ شفیعی، نجمه. (۱۳۹۶). بررسی همزمانی خشکسالی و افت آب زیرزمینی دشت نورآباد ممسنی با استفاده از GIS. دومین همایش هیدرولوژی ایران، ۱-۱۵.
- شکیبا، علیرضا؛ میرباقری، بابک؛ خیری، افسانه. (۱۳۸۹). خشکسالی و تأثیر آن بر منابع آب زیرزمینی در شرق استان کرمانشاه با استفاده از شاخص SPI. انجمن جغرافیای ایران، ۸ (۲۵): ۱۲۴-۱۰۵.
- صالحی اسفندارانی، رضا؛ غفوری، محمد؛ لشکری پور، غلامرضا؛ دهقانی، مریم. (۱۳۸۹). بررسی فرونژست دشت مهیار جنوبی و تأثیر شکاف‌های ناشی از آن بر زمین‌های کشاورزی، هفتمین کنفرانس زمین‌شناسی مهندسی و محیط زیست ایران، دانشگاه صنعتی شاهرود.
- علی‌آبادی، کاظم؛ زنگنه اسدی، محمدعلی؛ شایان یگانه، علی‌اکبر؛ جمال‌آبادی، جواد؛ حمیدیان، علیرضا. (۱۳۹۳). بررسی نقش زمین ساخت فعال و خطواره‌های تکتونیکی در پیدایش سفره‌های آب زیرزمینی دشت سبزوار با استفاده از GIS و RS. دو فصلنامه ژئومورفولوژی کاربردی ایران، ۲ (۴): ۳۰-۱۶.
- علیزاده، امین. (۱۳۸۹). اصول هیدرولوژی کاربردی، انتشارات آستان قدس رضوی.
- مصطفوی، مهران؛ عمال‌الدین، سمیه. (۱۳۹۰). تحلیل شواهد مورفو-تکتونیکی گسل درونه در محدوده‌ی حوضه‌ی آبریز ششطراز و مخروط افکنه‌ی پایین دست آن، جغرافیا و توسعه ناحیه‌ای، ۹ (۱۶): ۱۲۴-۱۰۷.
- مصطفوی، مهران؛ کامرانی دلیر، حمید. (۱۳۸۷). ارزیابی نقش تکتونیک فعال در تنظیم کانال رودخانه‌ها (مطالعه موردی: رودخانه تجن)، پژوهش‌های جغرافیایی طبیعی، ۴۰ (۶۶): ۵۵-۳۷.
- نگارش، حسین؛ شفیعی، نجمه؛ درانی نژاد، محمدصادق. (۱۳۹۳). بررسی هیدرولوژی ژئومورفولوژی حوضه آبریز دشت نورآباد ممسنی و تأثیر آن بر منابع آب منطقه، فصلنامه هیدرولوژی ژئومورفولوژی، ۲ (۶): ۸۰-۶۵.
- Bull W. B., L.D. MacFadden L.D. 1977. Tectonic geomorphology north and south of the Garlock Fault, California. In: Doehring, D. O. (Ed.). Geomorphology in Arid Regions, Proceedings of Eighth Annual Geomorphology Symposium, State University of New York, Binghamton: 115–138.
- Bull W.B. 1984. Tectonic Geomorphology. Journal of Geological Education, 32, 310-342.
- Guarnieri P, Pirrotta C. 2008. The Response of Drainage Basins to the Late Quaternary Tectonics in the Sicilian Side of the Messina Strait (NE Sicily). Geomorphology, 95, 260–273.

- Hamdouni R.El, Iriggaray C, Fernandez T, Chacon J, Keller E.A. 2008. **Assessment of relative active tectonics, southwest border of the Sierra Nevada (Southern Spain).** Geomorphology. **96**, 150-173.
- Keller E. A, Pinter N. 2002. **Active Tectonics–Earthquakes, Uplift, and Landscape (2nd edition).** Prentice Hall. London. 362 pp.
- Pike R.J, Wilson S.E. 1971. **Elevation-relief ratio, hypsometric integral and geomorphic area- altitude analysis.** Geological Society of America Bulletin, **82**, 1079-1084.
- Randel T. 1994. **Analysis of drainage- basin symmetry as arpin techniques to areas of possible Qaternery tilt-block tectonice: An example from the Mississippi Embayment.** Geological society. **106**, 571-581.
- Rockwell T.K, Keller E, Johnson D.L. 1985. **Tectonic geomorphology of alluvial fans and mountion fronts near Ventura.** California. In: Morisawa, M. (Ed)Shtober Zisu N, Greenbaum N, Inbar M, Flexer A. 2007. **Morphometricandgeomorphicapproaches for assessment of tectonic activity DeadSeaRift (Israel).** Geomorphology, **102**, 93-104.
- Zovoili E, Konstantinidi E, Koukouvelas I.K. 2004. **Tectonic Geomorphology of escarpments: the case of Komotades and anchialos faults.** Bulletin of the Geological society of Greece vol. XXXVI. Proceedings of the 10th International congress. Thessaloniki. April 2004.